

# 共轭亚油酸单体诱导乳腺癌细胞 SKBr3 凋亡的 PPAR $\gamma$ 信号通路研究 \*

袁贤琳 \*\* 何 峰 陈 青 杨湘玲 杨得坡 王冬梅 钟 翊 \*\*\*

(中山大学药学院, 广州 510006)

**摘要** *cis*9, *trans*11-CLA 和 *trans*10, *cis*12-CLA 是共轭亚油酸(CLA)二种抑瘤活性最强的主要单体。在以前报道二者诱导乳腺癌细胞凋亡的工作基础上, 进一步探讨共轭亚油酸单体诱导乳腺癌细胞 SKBr3 凋亡的途径及机制。采用 RT-PCR 和 Western blot 等方法, 证实了 CLA 在 SKBr3 细胞中可显著提高 PPAR $\gamma$  的转录及蛋白质表达水平, 并发现 CLA 对 PPAR $\gamma$  与凋亡相关蛋白 Bax、Bcl-2 和 caspase3 的表达影响呈同步相关性, 并表现出时间和剂量依赖性。通过 PPAR $\gamma$  抑制剂 GW9662 实验表明它们之间存在协同关系。首次提出了 PPAR $\gamma$ -Bcl-2-Caspase3 信号通路的 SKBr3 细胞凋亡途径, 为 CLA 有望作为 PPAR $\gamma$  新型调节剂诱导肿瘤细胞凋亡在临床应用提供实验证据。

**关键词** 共轭亚油酸单体, 过氧化物酶体增殖蛋白激活受体  $\gamma$ , 细胞凋亡, 人乳腺癌细胞系 SKBr3

**学科分类号** Q291, R91

**DOI:** 10.3724/SP.J.1206.2008.00549

共轭亚油酸(conjugated linoleic acid, CLA)是一组天然存在于牛肉、奶酪和乳脂中多不饱和脂肪酸, 是亚油酸(linoleic acid, LA)的几何异构体和位置异构体。近来研究证实, CLA 具有显著的抗肿瘤活性并引起了极大关注, 而对其抗癌机制和信号传导途径的研究更是该领域的热点。目前, 对 CLA 抑制肿瘤的作用机制主要有以下几个方面:  
 a. CLA 在小鼠前胃癌中通过诱导脂质过氧化产物的形成抑制肿瘤<sup>[1]</sup>; b. CLA 通过脂类代谢, 减少类二十碳烷酸的生成从而抑制肺腺肿瘤的形成<sup>[2]</sup>;  
 c. CLA 干扰结肠癌细胞周期正常运行, 抑制肿瘤细胞增殖<sup>[3]</sup>; d. CLA 通过 ERK-MAPK 信号通路诱导上皮肿瘤细胞的凋亡<sup>[4]</sup>。由此可见, CLA 对不同的肿瘤细胞可通过不同的途径诱导细胞凋亡。

CLA 在体外培养细胞中对于乳腺癌细胞 MCF-7 的抑制作用近年来也有不少报道, 如 CLA 通过影响血管上皮生长因子-A(VEGF-A)抑制细胞增殖<sup>[5]</sup>, CLA 对过氧化物酶体增殖蛋白激活受体  $\gamma$  (PPAR $\gamma$ ) 表达的影响导致 MCF-7 细胞 E-cadherin/ $\beta$ -catenin 信号通路的修饰, 从而抑制细胞增殖<sup>[6]</sup>, 以及 CLA 对 MCF-7 和另一乳腺癌细胞系 SKBr3 通过影响 Bcl-2、P21 蛋白表达, 促进细胞凋亡<sup>[7~9]</sup>。

*cis*9, *trans*11-CLA (*c9*, *t11*-CLA) 和 *trans*10,

*cis*12-CLA(*t10*, *c12*-CLA)是食物中含量最高也是抗癌活性最强的两个异构体, 在对肿瘤的抑制机制的研究中, 这两种异构体的活性并不完全一样。本研究鉴定了 *c9*, *t11*-CLA 和 *t10*, *c12*-CLA 两个异构体对 SKBr3 细胞的促凋亡作用, 证实了 CLA 促凋亡作用与过氧化物酶体增殖蛋白激活受体  $\gamma$  (peroxisome proliferators activated receptor, PPAR $\gamma$ ) 密切相关, 首次提出了 PPAR $\gamma$ -Bcl-2-Caspase3 信号通路的细胞凋亡途径, 为进一步探讨 CLA 的抗癌机制提供新的证据。

## 1 材料与方法

### 1.1 材料

#### 1.1.1 化学试剂.

CLA 单体(*c9*, *t11*-CLA, *t10*, *c12*-CLA), 纯度为 98%, 购自南昌华兴生物科技有限公司。配制成 200 mmol/L 的二甲基亚砜(DMSO)溶液, 分装

\* 广东省科技计划项目(2007B031406001, 2008A060202010)和国家自然科学基金资助项目(30873457)。

\*\* 现工作单位: 广州市中医院药剂科。

\*\*\* 通讯联系人。

Tel: 020-87334728; E-mail: lsszh@mail.sysu.edu.cn

收稿日期: 2008-10-16, 接受日期: 2008-11-25

储于-20℃备用。

**GW9662:** PPAR $\gamma$ 抑制剂，购于晶美生物工程广州分公司，工作浓度：1×10<sup>-6</sup> mol/L.

**Rosilitazone(罗格列酮):** PPAR $\gamma$ 激动剂，购于晶美生物工程广州分公司，工作浓度：1×10<sup>-5</sup> mol/L.

**主要试剂：**提取总 RNA 的 Trizol 试剂为美国 Invitrogen 公司产品；逆转录试剂 Oligo-dT、dNTP 由大连宝生生物工程有限公司提供；逆转录酶 M-MLV 为 Promega 公司产品；电泳用琼脂糖购于广州威佳公司。BCA 蛋白定量试剂盒购自 Pierce 公司产品；抗体：PPAR $\alpha$ 、PPAR $\gamma$ 、 $\beta$ -actin 和 Bcl-2, Bax 为美国 Cell signal 公司产品，Caspase3 购于北京中杉金桥公司(SantaCluz 产品)。PVDF 膜购于美国 Millipore 公司，孔径 0.2  $\mu$ m，型号为 ISEQ00010.

用于 RT-PCR 的引物由上海生工生物技术公司合成，检测 PPAR $\gamma$ 基因表达的上游引物序列为 5' tgtgaagccattga agaca 3'，下游引物 5' gagcgg gtgaagactcatgt 3'；*bcl-xL* 基因表达的上游引物序列为 5' gtaaactgggtcgattgt 3'，下游引物，5' tggatccaaggcttaggtg 3'；*bcl-xS* 基因表达的上游引物序列为 5' cagggacagcatatcagage 3'，下游引物 5' cagggaccagcgggtgaag 3'；内参  $\beta$ -actin 上游引物序列为 5' tgtatgcctctggctgtaccac 3'，下游引物 5' acagagtacttgcgctcaggag 3'.

**1.1.2 细胞培养。**人乳腺癌细胞系 SKBr3 细胞在含有青链霉素和 10% 新生牛血清(PAA 公司)的 RPMI 1640 (Gibco 公司生产) 培养液中，于 37℃、5% CO<sub>2</sub> 及饱和湿度条件下培养。

## 1.2 方法

**1.2.1 细胞生长曲线。**SKBR3 细胞接种于 24 孔培养板，4.0×10<sup>4</sup> 个/孔，37℃、5% CO<sub>2</sub> 培养过夜，分别加入浓度为 50、100  $\mu$ mol/L 的 CLA(*c9, t11*-CLA 或 *t10, c12*-CLA)，继续培养，分别在 1~8 天终止培养，胰蛋白酶消化，制成细胞悬液，苔盼蓝染色，未被着色的细胞为活细胞。用血球计数板计数存活细胞，计算均值。以培养时间为横轴，细胞数为纵轴绘制细胞生长曲线，每个样品设 3 组复孔作统计分析，计算细胞增殖抑制率。增殖抑制率(%)=(对照组细胞总数-实验组细胞总数)/对照组细胞总数×100.

**1.2.2 细胞凋亡荧光显微镜观察。**SKBr3 细胞接种于 12 孔培养板，37℃、5% CO<sub>2</sub> 培养过夜，分别加入浓度为 0, 50, 100  $\mu$ mol/L 的 *c9, t11*-CLA 或

*t10, c12*-CLA，继续培养 48 h 后，PBS 清洗细胞。用 Hoechst33342 荧光染料染色，无水甲醇固定。倒置荧光显微镜观察细胞核形态变化。

**1.2.3 流式细胞术检测细胞凋亡率和细胞周期。**SKBr3 细胞接种于 6 孔培养板，3×10<sup>5</sup> 个/孔，在对数生长期分别加入 *c9, t11*-CLA 或 *t10, c12*-CLA 50、100  $\mu$ mol/L，培养 48 h 后，将细胞制成单细胞悬液，2 500 r/min 离心 10 min，PBS 清洗 2 次，重悬浮于 4℃ 预冷 70% 乙醇，冰浴 30 min。测前加 1 ml 碘化丙啶(PI)综合染液(2.5 mg PI, 10 mg 核糖核酸酶，25 ml Triton X-100, 32.4 ml 生理盐水，50 mg 柠檬酸，加蒸馏水至 50 ml)，混匀后避光染色 30 min，上流式细胞仪(美国库尔特公司 ELITE)检测。对样品进行单参数 DNA 含量分析。每个样品设 3 组复孔，采用 Mod Fix LT 软件进行细胞 DNA 含量分析。

**1.2.4 RT-PCR.**人乳腺癌细胞系 SKBr3 细胞接种于 6 孔板，3×10<sup>5</sup> 个/孔，培养过夜后，分别加入 0, 25 和 50  $\mu$ mol/L 的 *c9, t11*-CLA 或 *t10, c12*-CLA，48 h 后用 Trizol 试剂提取 RNA。RT-PCR 按如下方法进行：10  $\mu$ l RNA (1~5  $\mu$ g) 加入 3  $\mu$ l Oligo-dT (100 mg/L)，以 75℃ 保温 10 min，迅速在冰上冷却，加入 2  $\mu$ l dNTP(10 mmol/L)，4  $\mu$ l 5×缓冲液，1  $\mu$ l M-MLV 逆转录酶，加水至 20  $\mu$ l，于 42℃ 保温 30 min 合成 cDNA，70℃ 5 min 终止反应。PCR 扩增程序为：94℃ 变性 4 min 后，94℃ 变性 1 min 51℃ 退火 30 s, 72℃ 延伸 1 min, 30 循环；最后 72℃ 保温 10 min。PCR 产物在 1.5% 琼脂糖胶中电泳，美国 UVP 公司(GDS8000) 凝胶成像系统显像观察、拍照并以 Labwork4.5 软件分析图像。以  $\beta$ -actin 作为内参，通过电泳条带密度与  $\beta$ -actin 条带密度的比值进行灰度分析定量评估。

**1.2.5 Western blot 检测 PPAR $\gamma$  和凋亡相关蛋白。**

SKBr3 细胞接种于 6 孔板，在对数生长期分别加入两种 CLA 异构体处理细胞，继续培养 1~4 天，收集细胞，加入 40  $\mu$ l 裂解液(50 mmol/L Tris-HCl, 150 mmol/L NaCl, 0.02% Na<sub>3</sub>N, 0.1% SDS, 1% NP-40, 0.5% 去氧胆酸钠，1 mmol/L EDTA)，4  $\mu$ l 蛋白酶抑制剂 Protease Inhibitor Cocktail，于 4℃ 振摇 15 min。于 4℃ 下 12 000 r/min 离心 30 min。上清转移至新 EP 管中，以 BCA 法测定蛋白质浓度。

取 40  $\mu$ g 蛋白质在 10% SDS-聚丙烯酰胺凝胶上进行电泳，90 V、90 min 湿法电转移至 PVDF 膜

上。Western blot 检测: 5%牛血清白蛋白(BSA)封闭 2 h。分别加入兔抗人 PPAR $\gamma$ 、Bcl-2、 $\beta$ -actin 或 caspase3 单克隆抗体(1:1 500)4℃过夜, 1×TBST 洗膜 3 次, 每次 10 min, 加入辣根过氧化物酶标记的山羊抗兔 IgG 二抗(1:10 000)室温 1 h, 1×TBST 洗膜 3 次, 每次 10 min, ECL 化学发光试剂显色, X-光片放射自显影。以目的片段与  $\beta$ -actin 的吸光度比值进行灰度分析。

## 2 结 果

### 2.1 c9, t11-CLA 和 t10, c12-CLA 可显著抑制 SKBr3 的生长

实验结果显示(图 1), 对照组(DMSO)SKBr3 细胞在数量上增长很快, 实验组在两种 CLA 异构体 50、100  $\mu\text{mol/L}$  浓度下, 细胞生长可见明显的抑制作用。*c9, t11-CLA* 各浓度组在第 8 天抑制率分别为 33.5%、66.9%; *t10, c12-CLA* 各浓度组在第 8 天抑制率分别为 66.3% 和 65.4%。经 SPSS 统计软件进行方差分析结果表明, *c9, t11-CLA* 和 *t10, c12-CLA* 各组与对照组相比均有显著性差异( $P < 0.05$ ,  $n = 3$ ), 并且 *t10, c12-CLA* 对 SKBr3 细胞生长的抑制作用明显强于 *c9, t11-CLA* 的作用。

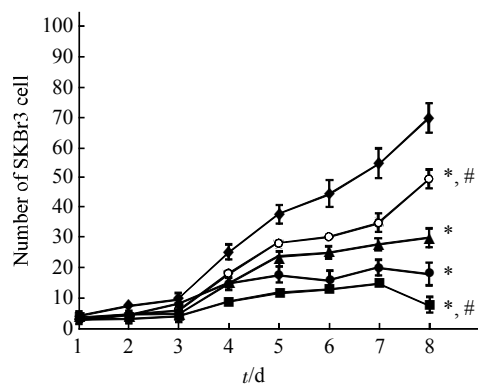


Fig. 1 Cell growth curve of SKBr3 cell treated with *c9, t11-CLA* and *t10, c12-CLA*

\* $P < 0.05$ , compared with control “DMSO”. # $P < 0.05$  compared with the cells treated with the same dose of *t10, c12-CLA*. ◆—◆: Control (DMSO); ○—○: *c9, t11-CLA*(50  $\mu\text{mol/L}$ ); ▲—▲: *t10, c12-CLA*(50  $\mu\text{mol/L}$ ); ●—●: *t10, c12-CLA*(100  $\mu\text{mol/L}$ ); ■—■: *c9, t11-CLA*(100  $\mu\text{mol/L}$ )。

### 2.2 *c9, t11-CLA* 和 *t10, c12-CLA* 可促进 SKBr3 细胞的凋亡

2.2.1 凋亡细胞荧光显微镜观察。荧光 Hoechst33342 染料能特异性结合细胞内的 DNA, 如图 2 所示, 正常细胞细胞核(对照组)呈弥漫均匀

荧光, 荧光较弱, 实验组可见典型的凋亡细胞核, 胞核体积明显变小, 缩皱, 呈浓染致密的颗粒块状强荧光, 甚至可见核固缩或片段化。从图 2 中可看出, 在 *t10, c12-CLA* 较低浓度(50  $\mu\text{mol/L}$ )时即呈现明显的凋亡细胞核, 诱导细胞凋亡强于 *c9, t11-CLA*。

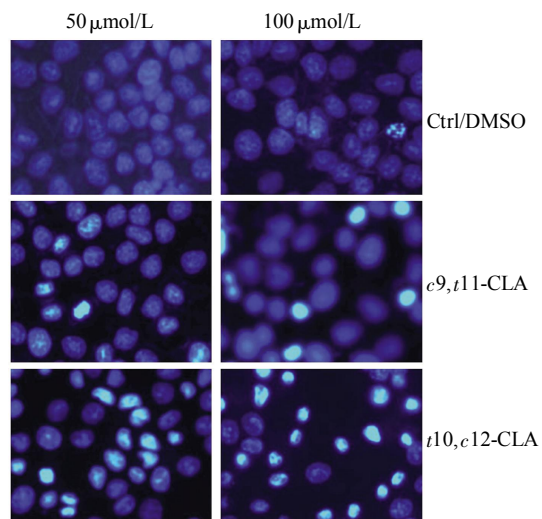
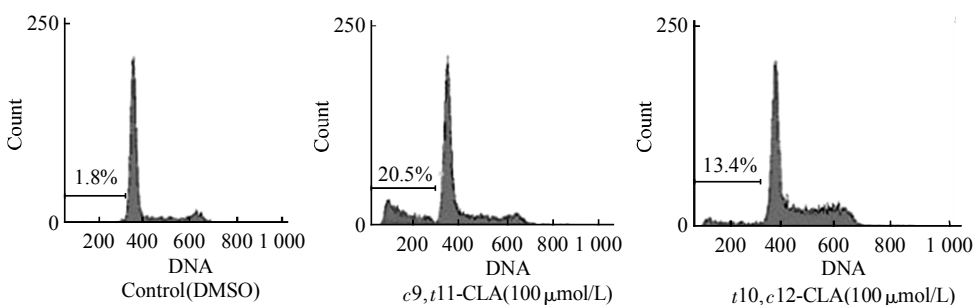


Fig. 2 Morphological changes of SKBr3 cell nuclear treated with *c9, t11-CLA* and *t10, c12-CLA* by Hoechst33342 staining (20 $\times$ )

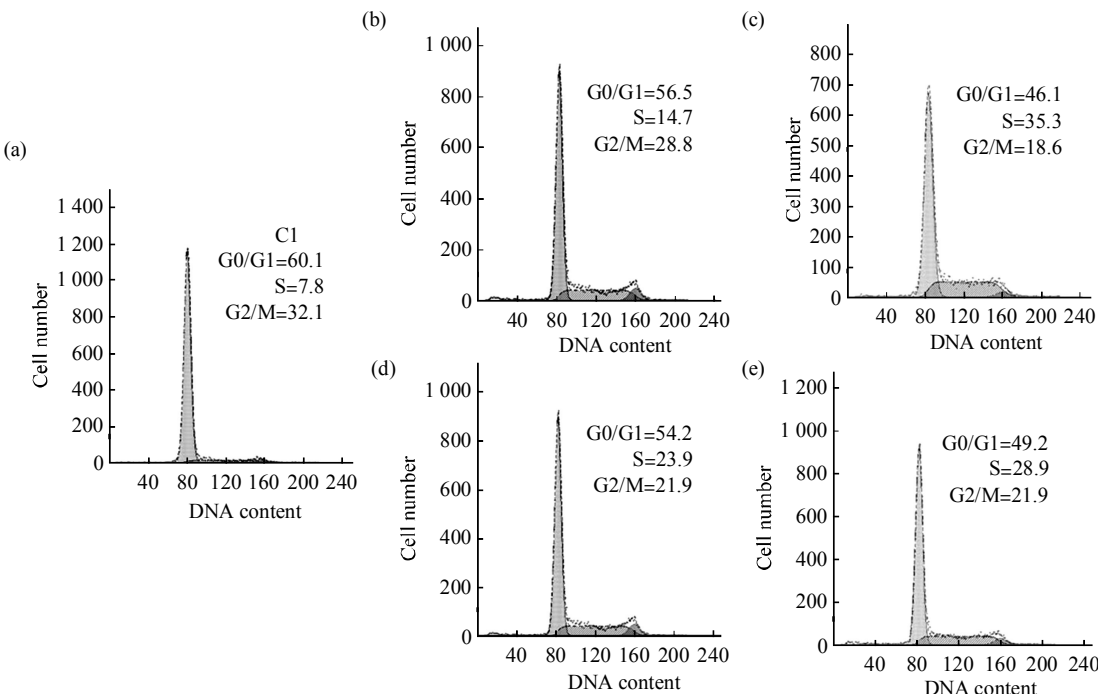
### 2.2.2 流式细胞术检测细胞凋亡率和细胞周期。

分别用 50 和 100  $\mu\text{mol/L}$  *c9, t11-CLA* 和 *t10, c12-CLA* 处理 SKBr3 细胞 72 h 后, 流式细胞仪测得凋亡率逐渐升高( $P < 0.05$ ), *t10, c12-CLA* 在低浓度时抑制作用强于 *c9, t11-CLA*, 而 *c9, t11-CLA* 在高浓度时抑制细胞增殖的作用显著强于 *t10, c12-CLA*。50  $\mu\text{mol/L}$  *c9, t11-CLA* 和 *t10, c12-CLA* 浓度组诱导的 SKRB3 凋亡率分别为 6.4% 和 8.8%, 与对照相比未见显著差异(数据未显示), 而在 100  $\mu\text{mol/L}$  浓度组中可见到明确的凋亡峰(如图 3), 凋亡率分别为 20.5% 和 13.4%。

利用流式细胞术在相同条件下发现细胞周期分布也发生了明显改变: DMSO 对照组的 G0/G1 期细胞比例为 60.1%, S 期为 7.8%, 而用 50 或 100  $\mu\text{mol/L}$  *c9, t11-CLA* 处理后, G0/G1 期分别降为 56.5% 和 46.1%, S 期分别升高为 14.7% 和 35.3%, 50, 100  $\mu\text{mol/L}$  *t10, c12-CLA* 处理后 G0/G1 期为 54.2% 和 49.2%, S 期分别为 23.9% 和 28.9%。可见随着药物浓度增加, 细胞 S 期延长, G0/G1 期缩短, 50  $\mu\text{mol/L}$  *t10, c12-CLA* 的 S 期延长的幅度高于 *c9, t11-CLA*, 而 100  $\mu\text{mol/L}$  *c9, t11-CLA* 的 S 期延长的幅度显著高于 *t10, c12-CLA*(图 4)。



**Fig. 3 Apoptosis rate of SKBr3 cell treated with *c9, t11-CLA* and *t10, c12-CLA* by flow cytometry**

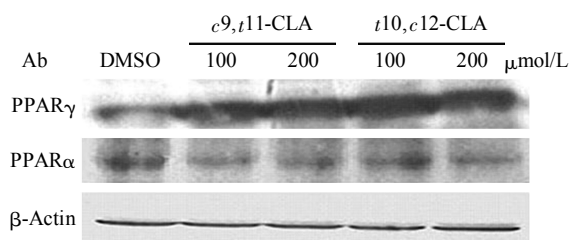


**Fig. 4 The cell cycle of SKBr3 cell treated with *c9, t11-CLA* and *t10, c12-CLA* by flow cytometry**

(a) Control(DMSO). (b) 50  $\mu\text{mol/L}$  *c9, t11-CLA*. (c) 100  $\mu\text{mol/L}$  *c9, t11-CLA*. (d) 50  $\mu\text{mol/L}$  *t10, c12-CLA*. (e) 100  $\mu\text{mol/L}$  *t10, c12-CLA*.

### 2.3 CLA 可影响 PPAR $\gamma$ 的表达, 但对 PPAR $\alpha$ 无影响

我们通过 Western blot 进一步验证了两个 CLA 异构体与 PPAR $\gamma$  和 PPAR $\alpha$  的关系, 即 SBKBr3 细胞在两个异构体分别为 100  $\mu\text{mol/L}$  和 200  $\mu\text{mol/L}$ , 48 h 对 PPAR $\gamma$  和 PPAR $\alpha$  表达水平的影响。结果



**Fig. 5 Western blot detected PPAR $\gamma$  and PPAR $\alpha$  proteins expressional change in SKBr3 cell treated with *c9, t11-CLA* and *t10, c12-CLA* for 48 h**

表明, 各实验组均能够明显增加 PPAR $\gamma$  的蛋白含量(图 5), 但 PPAR $\alpha$  的表达未见变化, 提示 CLA 只对 PPAR $\gamma$  具有激活作用, 而对 PPAR $\alpha$  未有任何影响。

### 2.4 CLA 可显著增加 PPAR $\gamma$ 的转录活性及蛋白质表达活性, 且与凋亡相关蛋白的变化同步

#### 2.4.1 RT-PCR 检测转录活性.

利用 RT-PCR 技术, 我们检测了 *c9, t11-CLA* 和 *t10, c12-CLA* 处理乳腺癌细胞 SKBr3 48 h 之后对 PPAR $\gamma$  基因 mRNA 转录活性的影响。结果显示, 与对照组相比, 随着 *c9, t11-CLA* 浓度增加, PPAR $\gamma$  的表达明显增强, 在 100  $\mu\text{mol/L}$  达到最强, 而 *t10, c12-CLA* 浓度仅在 50  $\mu\text{mol/L}$  时 PPAR $\gamma$  即出现高表达。表明 CLA 可促进 PPAR $\gamma$  的转录(图 6)。

我们同时还检测了两个异构体对凋亡相关基因 *bcl-xS* 和 *bcl-xL* 转录的影响。结果显示，同样条件下，促凋亡基因 *bcl-xS* 随浓度增加逐渐增强，在 *c9, t11-CLA* 100  $\mu\text{mol/L}$  时达到最强，而 *t10, c12-CLA* 在 50  $\mu\text{mol/L}$  时就表现明显上调。抑凋亡基因 *bcl-xL* 随着 *c9, t11-CLA* 浓度增加表达降低，在 100  $\mu\text{mol/L}$  时表达最弱，而 *t10, c12-CLA* 作用后在 50  $\mu\text{mol/L}$  时最弱。从 *bcl-xS* 与 *bcl-xL* 的比率可见 50  $\mu\text{mol/L}$  *t10, c12-CLA* 和 100  $\mu\text{mol/L}$  *c9, t11-CLA* 明显高于其他实验组，其差异具有统计学意义( $P < 0.01$ ) (图 6)。

以上结果表明，*c9, t11-CLA* 和 *t10, c12-CLA* 可显著影响 PPAR $\gamma$  和凋亡相关基因的转录水平，且对它们的影响是同步的。

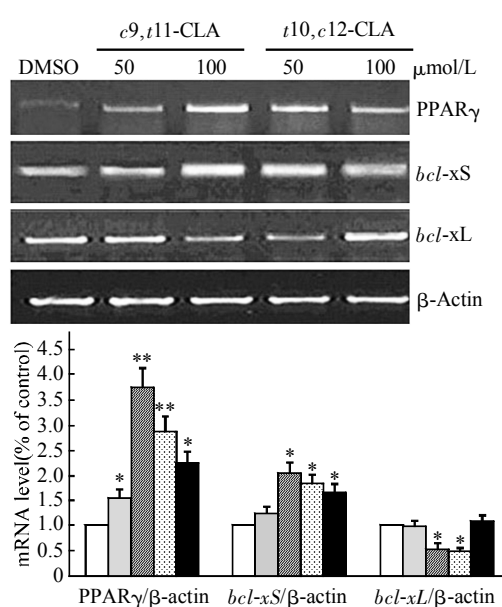


Fig. 6 Detection of PPAR $\gamma$  and *bcl-xL/S* mRNA transcription in SKBr3 cell treated with *c9, t11-CLA* and *t10, c12-CLA* for 48 h by RT-PCR

\* $P < 0.05$ , \*\* $P < 0.01$ , compared with control "DMSO". □: DMSO; □: *c9, t11-CLA*(50  $\mu\text{mol/L}$ ); □: *c9, t11-CLA*(100  $\mu\text{mol/L}$ ); □: *t10, c12-CLA*(100  $\mu\text{mol/L}$ ); □: *t10, c12-CLA*(100  $\mu\text{mol/L}$ )。

**2.4.2 CLA 影响 PPAR $\gamma$  和凋亡相关蛋白的剂量效应。**为了考察 CLA 与 PPAR $\gamma$  和凋亡相关蛋白之间的关系，我们首先在剂量方面考察了 CLA 对 SKBr3 细胞中 PPAR $\gamma$  以及 Bax、Bcl-2 和 caspase3 的影响。在 25, 50, 和 100  $\mu\text{mol/L}$  浓度下 CLA 两异构体处理 48 h 后，PPAR $\gamma$  和凋亡相关蛋白表达出现明显的剂量依赖性(图 7)，PPAR $\gamma$ ，促凋亡蛋白 Bax 和 caspase3 (小片段) 的表达随着 CLA 浓

度增加而增强，抑凋亡蛋白 Bcl-2 随加药浓度增加而逐渐减弱，但两种异构体的剂量效应有所不同：*c9, t11-CLA* 在 100  $\mu\text{mol/L}$  时变化最显著；*t10, c12-CLA* 在 50  $\mu\text{mol/L}$  时表达最明显( $P < 0.05$ )。有趣的是，CLA 两个异构体对 PPAR $\gamma$  的影响和对凋亡相关蛋白的变化具有相同的趋势，且与上述 RT-PCR 结果是一致的。

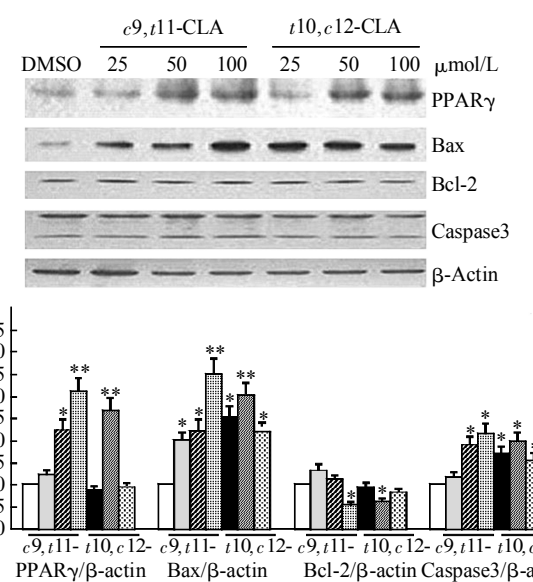


Fig. 7 Dose effects of PPAR $\gamma$  and apoptotic proteins Bax, Bcl-2 and caspase3 in SKBr3 cell treated with *c9, t11-CLA* and *t10, c12-CLA* for 48 h by Western blot

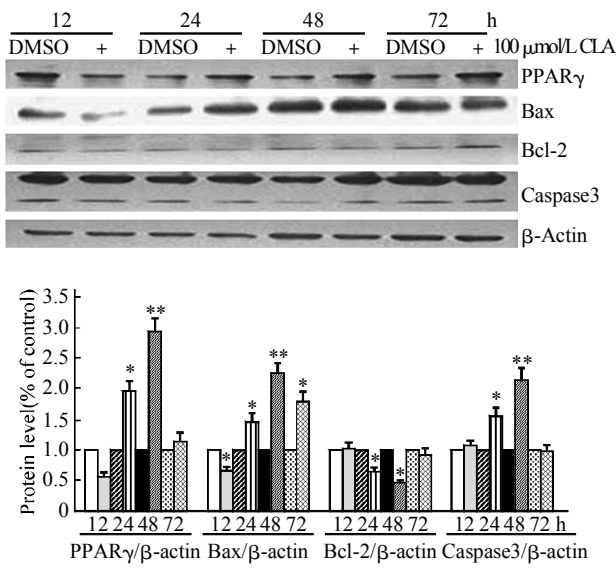
\* $P < 0.05$  and \*\* $P < 0.01$  compared with "DMSO" control. □: DMSO; □: *c9, t11-CLA*(25  $\mu\text{mol/L}$ ); □: *c9, t11-CLA*(50  $\mu\text{mol/L}$ ); □: *c9, t11-CLA*(100  $\mu\text{mol/L}$ ); □: *t10, c12-CLA*(25  $\mu\text{mol/L}$ ); □: *t10, c12-CLA*(50  $\mu\text{mol/L}$ ); □: *t10, c12-CLA*(100  $\mu\text{mol/L}$ )。

#### 2.4.3 CLA 影响 PPAR $\gamma$ 和凋亡相关蛋白的时间效应。

在时间效应方面，我们考察了 100  $\mu\text{mol/L}$  *c9, t11-CLA* 分别作用 12、24、48、72 h 上述各蛋白质的表达情况。*c9, t11-CLA* 作用于 SKBr3 细胞后 PPAR $\gamma$ 、Bax 和 caspase3 (小片段) 表达随时间增加而增强，在 48 h 时表达最强，Bcl-x 变化不明显(图 8)。

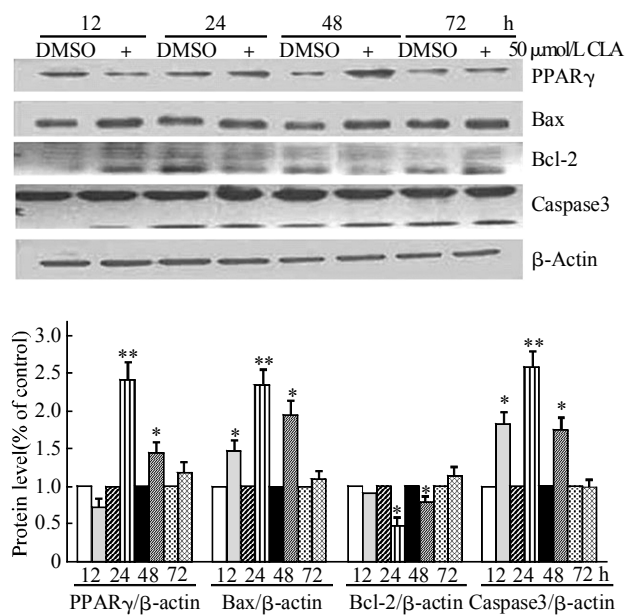
同时我们还考察了 50  $\mu\text{mol/L}$  *t10, c12-CLA* 分别作用 12、24、48、72 h 上述各蛋白质的表达情况。结果表明，PPAR $\gamma$ 、Bax 和 caspase3 (小片段) 表达在 24 h 时最强，Bcl-2 则相反，加药组比对照组的表达要弱(图 9)。

以上结果同样反映出 PPAR $\gamma$  与凋亡相关蛋白一致的变化趋势。



**Fig. 8 Time effects of PPAR $\gamma$  and apoptotic proteins Bax, Bcl-2 and caspase3 in SKBR3 cell treated with 100  $\mu\text{mol/L}$  c9, t11-CLA by Western blot**

\* $P < 0.05$ , \*\* $P < 0.01$  compared with “DMSO” control. □: DMSO 12 h; □: c9, t11-CLA 12 h; □: DMSO 24 h; ▢: c9, t11-CLA 24 h; ▣: DMSO 48 h; ▣: c9, t11-CLA 48 h; ▤: DMSO 72 h; ▤: c9, t11-CLA 72 h.



**Fig. 9 Time effect of PPAR $\gamma$  and apoptotic proteins Bax, Bcl-2 and caspase3 in SKBR3 cell treated with 50  $\mu\text{mol/L}$  t10, c12-CLA by Western blot**

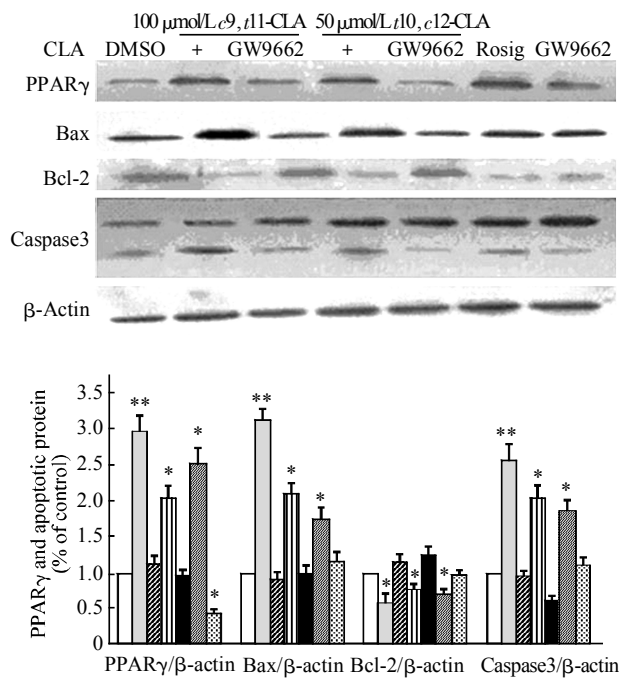
\* $P < 0.05$ , \*\* $P < 0.01$  compared with “DMSO” control. □: DMSO 12 h; □: t10, c12-CLA 12 h; □: DMSO 24 h; ▢: t10, c12-CLA 24 h; ▣: DMSO 48 h; ▣: t10, c12-CLA 48 h; ▤: DMSO 72 h; ▤: t10, c12-CLA 72 h.

## 2.5 CLA 通过 PPAR $\gamma$ 诱导细胞凋亡蛋白

从上述结果来看，不论是从剂量还是时间方面，CLA 诱导 PPAR $\gamma$  表达与 Bax 的变化呈同步关

系，那么在二者之间是否确实存在着相关关系？为此，我们将 CLA 与 PPAR $\gamma$  抑制剂 GW9662 共处理 SKBr3 细胞，PPAR $\gamma$  激动剂罗格列酮 (Rosiglitazone) 作为正对照，观察 Bax、Bcl-2 和 caspase3 的变化。

从图 10 可看出：在用浓度为 100  $\mu\text{mol/L}$  的 c9, t11-CLA 或 50  $\mu\text{mol/L}$  t10, c12-CLA 处理细胞，48 h 后，PPAR $\gamma$  表达显著增强，促凋亡蛋白 Bax 和 caspase3 (小片段) 表达也随着增强，比加 PPAR $\gamma$  激动剂 Rosiglitazone 的样品稍强。加入 PPAR $\gamma$  抑制剂 GW9662 后促凋亡蛋白 Bax 表达减弱，回复到比对照稍弱的水平。抑凋亡蛋白 Bcl-2 的表达则相反，其表达在加入抑制剂之后增强。相比两个异构体 c9, t11-CLA 和 t10, c12-CLA，后者则表现更加出色，由此可见，由于 PPAR $\gamma$  的抑制剂 GW9662 抑制了 PPAR $\gamma$  的表达，致使凋亡相关蛋白随之变化，并呈现密切的相关性。据此我们推测 CLA 是作为 PPAR $\gamma$  的配体激活其表达，进而诱导凋亡相关蛋白的表达，最终导致肿瘤细胞凋亡。



**Fig. 10 The relationship of PPAR $\gamma$  and apoptotic protein expression in SKBR3 cell treated with c9, t11-CLA and t10, c12-CLA by Western blot**

GW9662: PPAR $\gamma$  inhibitor; Rosig: PPAR $\gamma$  activator. \* $P < 0.05$  and \*\* $P < 0.01$  vs “DMSO” control. □: DMSO; □: c9, t11-CLA+GW9662; ▢: t10, c12-CLA; ▣: t10, c12-CLA+GW9662; ▤: Rosig; ▤: GW9662.

### 3 讨 论

1983 年 Pariza 等<sup>[10]</sup>最先发现烧烤牛肉的提取物具有抗癌作用, 接着对提取物的分析鉴定确认抗癌成分是共轭亚油酸。Clement 等在研究 CLA 对直肠癌的作用中首次观察到细胞中染色质浓缩和 DNA 交联等凋亡现象, 还用免疫组化的方法观察到 CLA 降低凋亡调节蛋白 Bcl-2 的表达。这一发现提示 CLA 可以通过诱导凋亡抑制癌症的发生和发展<sup>[11]</sup>。本研究证实, CLA 对乳腺癌 SKBr3 细胞的增殖有明显的抑制作用, 经 Hoescht 染色, *c9*, *t11*-CLA 和 *t10*, *c12*-CLA 均可引起细胞凋亡形态学改变, 利用流式细胞术, 我们还检测到 *t10*, *c12*-CLA 使细胞在凋亡率和细胞周期发生的变化。

细胞凋亡的信号传导途径主要有两条, 即死亡受体途径和线粒体途径, 无论哪条途径, 均是在凋亡刺激因子的作用下, 引发胞内 caspase 级联反应, 导致凋亡的发生<sup>[12]</sup>, 故 caspase 的激活是两条途径的共同途径。Caspase3 是最关键的凋亡执行蛋白, caspase3 的活性增加, 即小片段的产生说明细胞内的凋亡机制已被启动。Bcl-2 家族的表达和调控是影响细胞凋亡的关键因素之一, 在细胞凋亡信号传导途径中发挥重要作用。凋亡的发生并不仅仅与 Bax 或 Bcl-2 中某一种蛋白质的表达增加或降低有关, 更重要的是依赖于 Bax 和 Bcl-2 异源二聚体的严格化学比。本实验利用 Bcl-2 蛋白家族和细胞凋亡通路的关系证明了凋亡的发生: 促凋亡蛋白 Bax 蛋白表达增强, 而抑凋亡蛋白 Bcl-2 表达减弱 (Bax/Bcl-2 比值升高), 进一步使 caspase3 酶原激活, 引起 caspase3 小片段的表达增强, 并最终导致细胞凋亡。

过氧化物酶体增殖蛋白激活受体(peroxisome proliferators activated receptor, PPAR)作为调节目标基因表达的核内受体转录因子超家族成员<sup>[13]</sup>, 具有复杂的生物学功能。根据 PPAR 的结构及功能可分为 3 种不同亚型: PPAR $\alpha$ 、PPAR $\beta$  和 PPAR $\gamma$ 。其中 PPAR $\gamma$  位于机体多种信号传导的交叉点, 具有多种生物学效应, 可促进脂肪细胞分化和脂肪生成、增强机体对胰岛素的敏感性<sup>[14]</sup>、调节体内糖平衡、抑制炎症因子生成及炎症形成、影响肿瘤生长、对心血管产生保护效应<sup>[15]</sup>等, 且与肿瘤关系最为密切<sup>[16]</sup>。若被配体激活不仅可抑制一些肿瘤细胞的增殖, 而且可导致肿瘤细胞的凋亡, 从而成为新的肿

瘤治疗靶点<sup>[17]</sup>。它通过与配体结合活化, 再与视黄酸受体(retinoic X receptor, RXR) 形成异二聚体, 与目的基因上游的 PPRE 靶基因的特异性 DNA 序列, 即过氧化物酶体增殖物反应元件(peroxisome proliferator responsive element, PPRE)结合, 而发挥其转录后调控作用。在本研究中我们通过一系列实验结果表明, *c9*, *t11*-CLA 和 *t10*, *c12*-CLA 可诱导 SKBr3 细胞的 PPAR $\gamma$  转录活性并使蛋白质表达水平明显增强, 其影响呈现剂量和时间上的依赖性。我们推测 CLA 可作为 PPAR $\gamma$  的调节剂与其结合, 激活 PPAR $\gamma$  的表达。

已确认的含有 PPRE 结构基因即 PPAR $\gamma$  调控的靶基因包括: 脂酰辅酶 A 氧化酶、过氧化酶体双功能酶、肝脏脂肪酸结合蛋白、微粒体 CYP4A、细胞色素 P450、脂肪酸 co- 羧化酶、SOD 和一些生长凋亡基因如 c-myc、c-jun、erg-1、c-fos、c-Ha-ras 等<sup>[18~21]</sup>。目前对于凋亡相关基因是否也含有 PPRE 结构从而成为 PPAR $\gamma$  的调控靶基因, 未见任何报道。令人感兴趣的是, 我们通过一系列的实验证实, CLA 对 PPAR $\gamma$  表达的增强趋势, 特别是 *c9*, *t11*-CLA 和 *t10*, *c12*-CLA 异构体在剂量和时间效应方面均与凋亡相关蛋白 Bax, Bcl-2 和 caspase3 (小片段) 的变化趋势相一致, 这一结果提示我们, PPAR $\gamma$  与肿瘤细胞凋亡相关, 且与凋亡相关蛋白 Bcl-2 蛋白家族有某种联系。

通过 PPAR $\gamma$  抑制剂 GW9660 实验, 证明了 PPAR $\gamma$  与凋亡相关蛋白 Bax、Bcl-2 和 caspase3 (小片段) 之间的协同关系。此结果进一步证实了 CLA 作为 PPAR $\gamma$  调节剂激活 PPAR $\gamma$  的推测, 通过 PPAR $\gamma$ -Bcl-2-Caspase3 信号通路, 与 Bcl-2 家族基因上游结合, 进一步激活或抑制其下游的基因表达, 从而诱导 SKBr3 细胞凋亡。当然这一推测尚需更多的实验证据支持。

总之, CLA 将有望作为 PPAR $\gamma$  的新型调节剂在临床应用。CLA 是体内正常代谢物, 对机体无毒副作用, 所以若能投入临床治疗疾病将会为患者带来无限的福音。因此如何完善和深入 CLA 的临床前研究, 如何合理开发 CLA 成为有效药物将是今后最有前景的一个发展方向, 也是未来很长一段时间为之奋斗的目标。

### 参 考 文 献

- Ha Y L, Storkson J, Pariza M W. Inhibition of benzo (a) pyrene-induced mouse forestomach neoplasia by conjugated dienoic derivatives of linoleic acid. Cancer Res, 1990, **50** (4): 1097~1101

- 2 Schonberg S, Krokan H E. The inhibitory effect of conjugated dienoic derivatives (CLA) of linoleic acid on the growth of human tumor cell lines in part due to increased lipid peroxidation. *Anticancer Res*, 1995, **15**(4): 1241~1246
- 3 Cho H J, Kim E J, Lim S S, et al. *Trans*-10, *cis*-12, not *cis*-9, *trans*-11, conjugated linoleic acid inhibits G1-S progression in HT-29 human colon cancer cells. *J Nutr*, 2006, **136**(4): 893~898
- 4 Bocca C, Bozzo F, Gabriel L, et al. Conjugated linoleic acid inhibits Caco-2 cell growth via ERK-MAPK signaling pathway. *J Nutr Biochem*, 2007, **18**(5): 332~340
- 5 Wang L S, Huang Y W, Sugimoto Y, et al. Effects of human breast stroma cell on conjugated linoleic acid (CLA) modulated vascular endothelial growth factor-A (VEGF-A) expression in MCF-7 cell. *Anticancer Res*, 2005, **25**(6B): 4061~4068
- 6 Bocca C, Bozzo F, Francica S, et al. Involvement of PPAR $\gamma$  and E-cadherin/ $\beta$ -catenin pathway in the antiproliferative effect of conjugated linoleic acid in MCF-7 cells. *Int J Cancer*, 2007, **121**(2): 248~256
- 7 O'Shea M, Devery R, Lawless F, et al. Milk fat conjugated linoleic acid (CLA) inhibits growth of human mammary MCF-7 cancer cells. *Anticancer Res*, 2000, **20**(5B): 3591~3601
- 8 Majumder B, Wahle KW, Moir S, et al. Conjugated linoleic acids (CLAs) regulate the expression of key apoptotic genes in human breast cancer cells. *The FASEB J*, 2002, **16**(11): 1447~1449
- 9 Wongtangtintharn S, Oku H, Iwasaki H, et al. Incorporation of branched-chain fatty acid into cellular lipids and caspase-independent apoptosis in human breast cancer cell line, SKBR-3. *Lipids in Health and Disease*, 2005, **4**: 29
- 10 Pariza M W, Loretz L J, Storkson J M, et al. Mutagens and modulator of mutagenesis in fried ground beef. *Cancer Res*, 1983, **43** (5 Suppl.): 2444s~2446s
- 11 Ip C, Ip M M, Loftus T, et al. Induction of apoptosis by conjugated linoleic acid in cultured mammary tumor cells and premalignant lesions of the rat mammary gland. *Cancer Epidemiol Biomarkers Prev*, 2000, **9** (7): 689~696
- 12 Sato T, Hanada M, Bodrug S, et al. Interactions among members of the Bcl-2 protein family analyzed with a yeast two-hybrid system. *Proc Natl Acad Sci USA*, 1994, **91** (20): 9238~9242
- 13 Fenner M H, Elster E. Peroxisome proliferator-activated receptor- $\gamma$  ligands for the treatment of breast cancer. *Expert Opin Investigating Drugs*, 2005, **14**(6): 557~568
- 14 Kubota N, Terauchi Y, Miki H, et al. PPAR gamma mediates high-fat diet-induced adipocyte hypertrophy and insulin resistance. *Mol Cell*, 1999, **4**(4): 597~609
- 15 Barak Y, Nelson M C, Ong E S, et al. PPAR gamma is required for placental, cardiac, and adipose tissue development. *Mol Cell*, 1999, **4**(4): 585~595
- 16 Vamecq J, Latruffe N. Medical significance of peroxisome proliferator-activated receptors. *Lancet*, 1999, **354**(9173): 141~148
- 17 Pighetti G M, Novosad W, Nicholson C, et al. Therapeutic treatment of DMBA-induced mammary tumors with PPAR ligands. *Anticancer Res*, 2001, **21**(2A): 825~830
- 18 Nolte R T, Wisely G B, Westin S, et al. Ligand binding and co-activator assembly of the peroxisome proliferator-activated receptor-Gamma. *Nature*, 1998, **395**(6698): 137~143
- 19 Kotani T, Yamashita M. Discrimination of the roles of MPF and MAP kinase in morphological changes that occur during oocyte maturation. *Dev Biol*, 2002, **252**(2): 271~286
- 20 Willson T M, Brown P J, Sternbach D D, et al. The ppars: from orphan receptors to drug discovery. *J Med Chem*, 2000, **43** (4): 527~550
- 21 Tzameli I, Fang H, Ollero M, et al. Regulated production of a PPAR $\gamma$  ligand during an early phase of adipocyte differentiation in 3T3-L1 adipocytes. *J Biol Chem*, 2004, **279**(34): 36093~36102

## Studies on PPAR $\gamma$ Signal Pathway of Conjugated Linoleic Acid Isomers Induce Apoptosis of Human Breast Cancer Cell Line SKBr3\*

YUAN Xian-Lin\*\*, HE Feng, CHEN Qing, YANG Xiang-Ling,  
YANG De-Po, WANG Dong-Mei, ZHONG Ling\*\*\*

(School of Pharmaceutical Sciences, Sun Yat-sen University, Guangzhou 510006, China)

**Abstract** *Cis*9, *trans*11 and *trans*10, *cis*12-CLA are two major isomers of conjugated linoleic acid, which have stronger activities of anti-tumor. Based the previous studies, it was explored the pathway and mechanism of inducing apoptosis in human breast cancer cell line SKBR3 by *c*9, *t*11-CLA and *t*10, *c*12-CLA. It was confirmed that CLA could increase obviously the transcription and protein expression levels of PPAR $\gamma$  by RT-PCR and Western blot. The synchronism and correlation between PPAR $\gamma$  and apoptotic proteins Bax, Bcl-2, caspase3 changes were found with a dose- and time-dependent manner. PPAR $\gamma$  inhibitor GW9662 experimental result showed that there is cooperative relation between them. This is the first report that CLA induces apoptosis in SKBr3 cell by the signal pathway of PPAR $\gamma$ -Bcl-2-Caspase3. These observations indicated that CLA will be useful for clinic therapy of anti-tumor as a new regulator of PPAR $\gamma$  in the future.

**Key words** conjugated linoleic acid isomer, peroxisome proliferators activated receptor  $\gamma$ (PPAR $\gamma$ ), apoptosis, human breast cancer cell line SKBR3

**DOI:** 10.3724/SP.J.1206.2008.00549

\*This work was supported by grants from the Scientific Technology Project of Guangdong Province in China(2007B031406001, 2008A060202010) and The National Natural Science Foundation of China(30873457).

\*\*Current work unit: Pharmacy Department, TCM Hospital of Guangzhou.

\*\*\*Corresponding author.

Tel: 86-20-87334728, E-mail: lsszh@ mail.sysu.edu.cn

Received: October 16, 2008 Accepted: November 25, 2008